ГИДРАВЛИКА

Б. Л. Буннатян, З. А. Зорян

Искусственное уменьшение скорости распространения волны давления гидравлического удара в целях его моделирования

Введение

При переходных процессах в гидроэнергосистемах большое влияше на процесс регулирования и устойчивости системы оказывает поление гидравлического удара [1]. Поэтому при динамическом модешровании гидроэнергосистемы, вопрос моделирования гидравлического удара требует специального анализа.

Условия такого моделирования рассмотрены в работах И. В. Егиазарова [2—4], где показана необходимость сохранения одинаковым для модели и натуры масштаба времени всех элементов в модели, а также постоянной времени трубопровода.

Моделирование в этих условиях возможно только при искажении теометрических масштабов для напора, длины, диаметра и толщины стенок трубопровода. При этом масштаб для скорости распространения волны удара получается равным масштабу для длины трубопровода. Следовательно, скорость распространения волны удара на модели должна быть меньше скорости распространения волны в натуре в притом, в завосимости от условий, в 10—20 раз.

Таким образом, уменьшение скорости распространения ударных

води в напорных водоводах является основной задачей.

Этому вопросу посвящена настоящая работа, которая была проведена под общим руководством И. В. Егназарова.

§ 1. Теория вопроса

Из теории гидравлического удара [5] известно, что всякому быстрому уменьшению расхода, следовательно, и скорости протекания волы V в трубопроводе, сопутствует повышение давления.

Это повышение давления распространяется вверх по трубопроволу с некоторой скоростью a и за промежуток времени dt проходит путь dx = adt, вследствие чего поперечное сечение трубы и плотвость воды $\frac{7}{g}$ на длине dx увеличивается, так как на этом участке трубы дополнительно накапливается масса воды равная

$$\frac{\gamma}{g} F \frac{\partial v}{\partial x} dxdt = \frac{\gamma}{g} F dx - \frac{\gamma_0}{g} F_0 dx, \qquad (1)$$

где F_0 и γ_0 — первоначальное сечение грубы и объемный вес воды.

Заменяя здесь

$$\gamma F - \gamma_0 F_0 = d(\gamma F)$$
.

будем иметь

$$\frac{\partial v}{\partial x} dt = \frac{d\gamma}{\gamma} + \frac{dF}{F} \cdot$$

Ho

$$\frac{d\gamma}{\gamma} = \frac{dp}{\epsilon} \; ,$$

где є - объемный модуль упругости воды.

Получим:

$$\frac{70}{g} \left(\frac{1}{\epsilon} + \frac{dF}{Fdp} \right) = a^{\pm},$$

или

$$a = \frac{\sqrt{\frac{g}{\gamma_0} \epsilon}}{\sqrt{1 + \frac{dF}{F} \frac{\epsilon}{dp}}} = \frac{a_0}{\sqrt{1 + \frac{dF}{F} \frac{\epsilon}{dp}}}.$$
 (2)

Это есть общее выражение для определения значения скорости распределения ударных волн в напорных водоводах.

В частном случае, когда трубопровод вмеет круглое сечение с днаметром D и толщиной стенки 8, то

$$\frac{dF}{F} = \frac{dp}{E} \frac{D}{\delta}.$$
(3)

где Е - модуль упругости материала трубопровода.

Подставляя выражение (3) в формулу (2), получим

$$a = \frac{a_0}{\sqrt{1 + \frac{s}{E} \frac{D}{\delta}}}, \tag{4}$$

формулу Н. Е. Жуковского для определения скорости а в круглых трубах.

Здесь величина a_0 , как известно, выражает скорость распространения волны давления (или звука) в неограниченной жидкой среде и есть функция температуры и давления жидкости, т. е. $a_0 = f(t; p)$.

Для давлений до 25 атмосфер при температуре около 15°C принимается $a_0 = 1435$ м/сек [6].

Как видно из формул (2) и (4) значения скорости распространения волн удара в данной жидкости зависят от формы поперечного сечения, т. е. от жесткости поперечного сечения трубы и от упругих свойств ее материала. Следовательно, для того, чтобы уменьшить значение скорости a необходимо увеличить отношение $\frac{\epsilon}{E}$, что приводит к увеличению относительного изменения поперечного сечения трубопровода $\frac{\Delta F}{F}$.

Увеличение отношения $\frac{\varepsilon}{E}$ или $\frac{\Delta F}{F}$ путем применения некруглой грубы или за счет уменьшения толщины стенки модельной трубы, как это предложил Ларас [7], не может дать такого уменьшения скорости a, как это требуется согласно отмеченному выше, и в работах [3, 4].

В достаточно большом днапазоне можно уменьшать скорость а влияя на жесткость системы, а именно — введя в трубопровод резиновый шланг наполненный воздухом.

Первые, известные нами попытки уменьшения скорости волны гидравлического удара путем введения в трубопровод резинового шланга были произведены в 1951 г. в ТБИЖТ'е Ю. С. Девдариани и Т. Б. Лунякиной [8] и во Франции Ременьерасом [9] в 1952 году. В втих исследованиях преследовалась цель не моделирования удара, а воздействия этим путем на величину удара на действующих гидроустановках.

Ю. С. Девдариани и Т. Б. Лунякина дают формулу для расчета скорости волны удара при введении резинового шланга в трубопровод, котороя в наших обозначениях примет вид:

$$a = \frac{1435}{\sqrt{1 + \frac{\epsilon}{E} \frac{D}{\delta} + \frac{d^2 \epsilon}{D^2 p}}} \cdot$$

Практически, на своей экспериментальной установке Ю. С. Девдариани и Т. Б. Лунякина получили уменьшение скорости волны удара с 1250 м/сек (без шланга) до 520 м/сек (со шлангом).

При выводе приведенной формулы не учтено влияние упругости резинового шланга, а процесс изменения объема воздуха в шланге считадся изотермическим.

Ременьерас дает формулу для скорости волны удара с учетом влияния резинового шланга, считая также процесс изотермическим. Эта формула в наших обозначениях будет иметь вид:

$$a = \frac{1435}{\sqrt{1 + \frac{\epsilon}{E} \frac{D}{\delta} + \frac{\omega}{F - \omega} \left(\frac{D}{E\delta} + \beta\right)}}$$

где ∞ — сечение шланга,

 $\beta = \frac{1}{H} \frac{dW}{W}$ — постоянный коэффициент объемной деформации, определяемый опытом.

Хотя эта формула практически дает результаты с точностью до 10—15%, но требуются специально поставленные эксперименты по определению значения β для данного шланга.

Влияние шланга на скорость a можно определить, если написать уравнение неразрывности для трубопровода, внутри которого проложен резиновый шланг диаметром d_0 , толщиной стенки e, с модулем упругости материала стенок ε_p и поперечным сечением ω .

Так как в шланге имеется воздух, находящийся под давлением равным давлению окружающей воды, то стенки шланга не испытывают давления.

При повышении давления воды на величину dp, давление воздуха в шланге увеличивается на dp_b < dp и под действием разности давлений dp — dp_b диаметр шланга уменьшается. В связи с этим уравнение неразрывности для трубопровода по аналогии с уравнением (1) может быть с использованием выражения (3) записано в виде:

$$\frac{\partial v}{\partial x} \, dt dx = \frac{1}{\epsilon} \, dp dx + \frac{D}{E \delta} dp dx + \frac{\omega}{F - \omega} \cdot \frac{d_0}{\epsilon_0 e} (dp - dp_b) \, dx. \tag{5}$$

Здесь
$$dp_b = \epsilon_b \frac{d\omega}{\omega}$$
. (6)

где ≈ь — объемный модуль упругости воздуха.

Учитывая, что
$$\frac{d\omega}{\omega} = \frac{d_0}{\epsilon_p \mathcal{E}} (dp - dp_b), \tag{7}$$

получим, в результате совместного решения уравнений (6) и (7),

$$\mathrm{d} p_b = \frac{\epsilon_b}{\epsilon_p \, \frac{\mathit{e}}{d_o} + \epsilon_b} \, \mathrm{d} p. \tag{8}$$

Подставляя (8) в выражение (5) и преобразуя, получим:

$$\frac{\partial v}{\partial t} = \left[\frac{1}{\epsilon} + \frac{D}{E\delta} + \frac{\omega}{F - \omega} \cdot \frac{1}{\left(\epsilon_p \frac{e}{d_o} + \epsilon_b\right)} \right] \frac{d\rho}{dt}.$$

Отсюда

$$a = \frac{1435}{\sqrt{1 + \frac{\varepsilon}{E} \frac{D}{\delta} + \frac{\omega}{F - \omega} \cdot \frac{\varepsilon}{\left(\varepsilon_{p} \frac{e}{d_{0}} + \varepsilon_{b}\right)}}}$$
(9)

Таким образом, в знаменателе формулы Н. Е. Жуковского появляется дополнительный член, определяющий влияние резинового шланга на скорость а.

При этих выводах предполагалось, что шланг не меняет форму.

Если шланг сделан из жесткой резины, то давление воздуха в шланге практически не изменяется, т. е. $dp_b \simeq 0$ или $\varepsilon \frac{e}{d} \gg \varepsilon_b$.

Тогда формула (9) примет вид:

$$a = \frac{1435}{\sqrt{1 + \frac{\varepsilon}{E} \frac{D}{\delta} + \frac{\omega}{F - \omega} \cdot \frac{\varepsilon}{\varepsilon_p} \frac{d_0}{e}}}.$$
 (10)

Если, наоборот, шланг сделан из весьма тонкой, гибкой резины и сопротивлением его стенок внешнему давлению можно пренебречь, что равносильно тому, что вдоль трубопровода пропускается струя воздуха, то формула (9) запишется в виде

$$a = \frac{1435}{\sqrt{1 + \frac{\varepsilon}{E} \frac{D}{\delta} + \frac{\omega}{F - \omega} \cdot \frac{\varepsilon}{\varepsilon_b}}}$$
(11)

Для определения 🖘 исходим из того предположения, что при гидравлическом ударе изменение состояния воздуха в шланге происходит за такой короткий промежуток времени, что теплообмен между воздухом и окружающей его средой не происходит, поэтому процесс считаем аднабатическим, т. е.

$$pW^k = const.,$$

где $k = \frac{c_p}{c_w}$ — отношение теплоемкостей при постоянных давлениях и объеме.

Дифференцируя это выражение, получим:

$$\frac{\mathrm{dW}}{\mathrm{W}} = -\,\frac{\mathrm{dp}}{\mathrm{kp}}\,\cdot$$

С другой стороны

$$\frac{dW}{W} = -\frac{dp}{\epsilon_b} \, \cdot \,$$

Отсюда

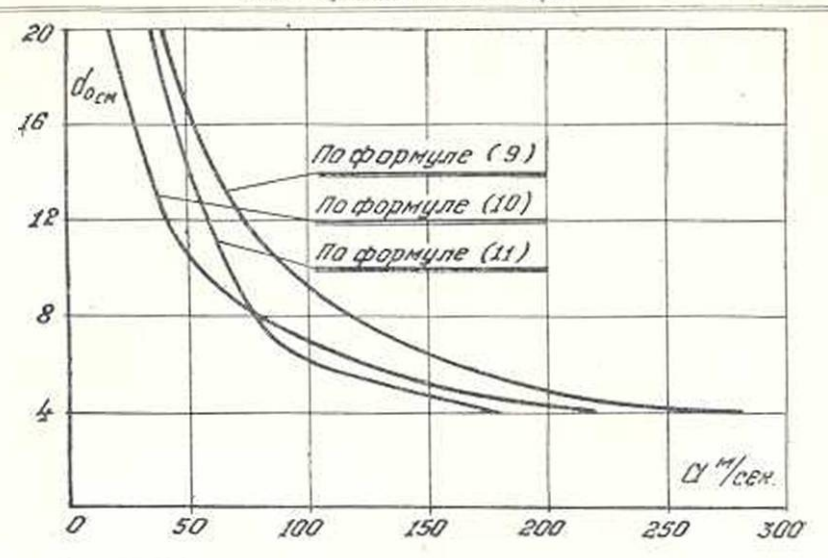
$$\varepsilon_b = kp$$
.

Для воздуха (явдяющегося двухатомным газом) k = 1,42. Для сравнения формул (9), (10) и (11) производим численный расчет при следующих данных: $D=64\,$ см, $\delta=0,4\,$ см, $\frac{\epsilon}{E}=\frac{1}{103}$. $\epsilon_p=40\,$ кг/см 2

ь = 2 кг/см2 при разных диаметрах шланга толщиной стенки 0,2 см и строим график (фиг. 1), изображающий изменение скорости а в

данном трубопроводе в зависимости от диаметра шланга.

Поскольку формула (9) учитывает влияние наличия резинового шланга и воздуха в нем, скорость получается меньшей той, которая определяется по формуле (10). При отсутствии сопротивления, создаваемого воздухом в шланге, эту скорость можно было бы еще больше уменьшить, что видно из фиг. 1.



Фиг. 1. Кривые зависимости скорости а от диаметра шланга.

Кроме того, по формуле (11), которая написана для случая, при котором взамен шланга в трубопроводе подается струя воздуха, скорость а получается меньше, чем по формуле (9). Следовательно, разница в результате расчета по формулам (9) и (10) вызвана влиянием сопротивления воздуха в шланге, а при расчете по формулам (9) и (11)— сопротивлением шланга.

Таким образом полученные формулы могут быть применены для расчета скорости а в соответствующих конктретных случаях.

Точность результатов зависит от точности выбора ϵ_p и ϵ_b ,

§ 2. Экспериментальная проверка уменьшения скорости распространения волны гидравлического удара

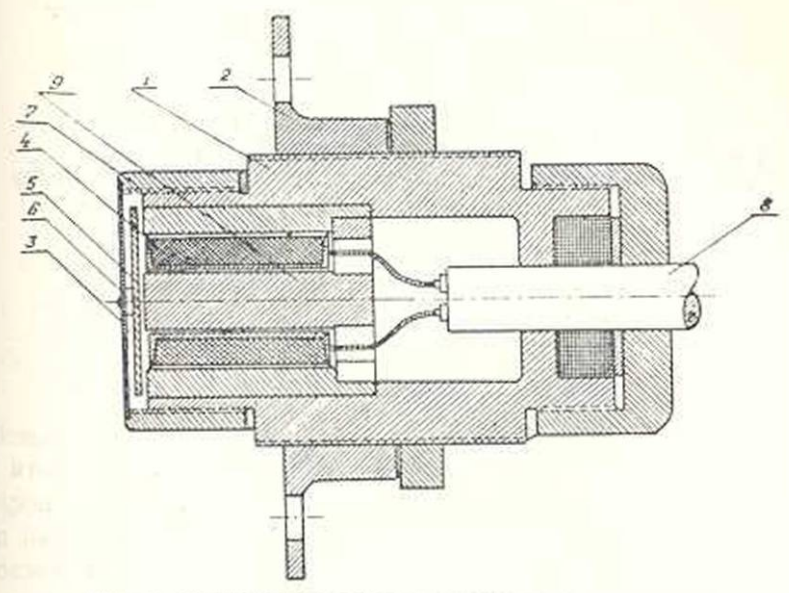
В 1952—54 гг. в Гидроэлектрической лаборатории Водно-энергетического института Академини наук Армянской ССР был проведен ряд экспериментов на 3-х установках, для установления возможности уменьшений скорости распространения ударных воли в трубопроводах в широких пределах.

Для записи изменений во время давления при ударе были спроектированы и изготовлены следующие приборы:

- а) индукционный датчик давления,
- б) фото-оптический датчик давления и
- в) индикатор давления.
- а) Индукционный датник давления (фиг. 2) состоит из латунного корпуса I, в котором собраны все детали.

Датчик закрепляется в интересующей нас точке модели посредством флянца 2, который, благодаря наличню нарезки, можно перемещать вдоль корпуса так, чтобы днафрагма 3, воспринимающая давление, находилась в данной точке модели.

Внутри корпуса помещается катушка 4 из провода ПЭП диаметром 0,12 мм, с числом витков 2100, и омическим сопротивлением в 1000 ом.



Фиг. 2. Конструктивная схема индукционного датчика.

Изменение индуктивного сопротивления катушки осуществляется путем перемещения стального якоря 5, присоединенного заклепкой 6 к гибкой диафрагме. Днафрагма припаивается к колпачку 7.

Катушка датчика двухжильным гибким кабелем 8 соединяется с осциллографом.

Под давлением жидкости диафрагма деформируется и якорьприближается к сердечнику 9 катушки.

При изменении зазора между якорем и сердечником, меняется индуктивное сопротивление катушки, следовательно, и ток цепи. Это изменение регистрируется осциллографом.

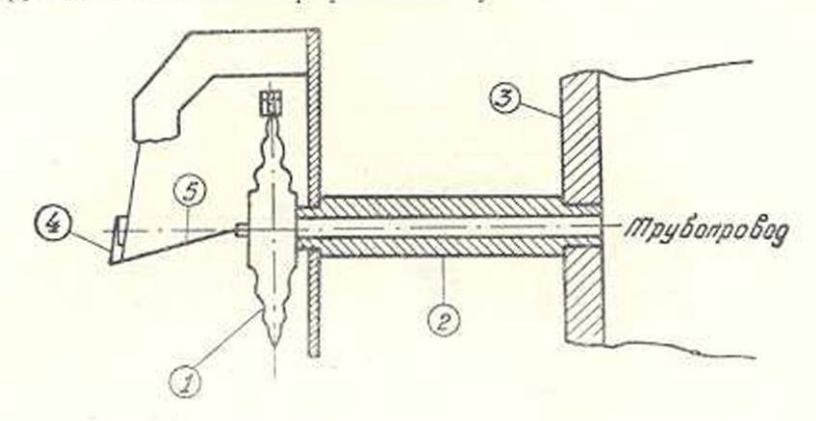
Перед экспериментом датчик тарировался под статическим давлением водяного столба, изменяющегося от 0 до 10 ж и устанавливалась зависимость между давлением на мембране и проходящим током в осциллографе.

б) Фото-оптический датчик давления (фиг. 3) изготовлен из внероидной коробочки 1, которая с помощью латунной трубки 2 присоединяется к трубопроводу 3.

Перед экспериментом прибор заполняется водой, через толщу которой изменение давления передается анероидной коробочке. Под этим давлением коробочка деформируется, вызывая перемещение зеркала 4, которое опирается на штангу 5. Это зеркало освещается электрической лампочкой и отражает луч в сторону осциллографа.

Аналогично случаю тарировки индукционного датчика устанав-

ливается связь между давлением и отклонением отраженного луча, фиксируемого на осциллографической бумаге.



Фиг. 3. Конструктивная схема фото-оптического датчика.

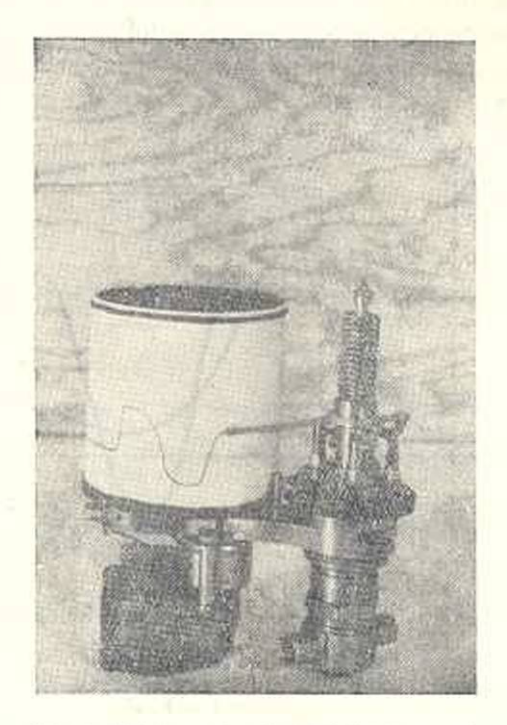
в) Индикатор давления, изготовден из индикатора давления типа "Майгак" применяемого для записи индикаторной мощности паровых машин, двигателей внутреннего сгорания и т. п. Этот последний
имеет барабан, на котором производится запись. Специальный привод
заставляет барабан вращаться попеременно то вправо, то влево, что
неприемлемо для записи гидравлического удара. Поэтому нами были
внесены в этот прибор некоторые конструктивные изменения, а именно: его барабан с приводным механизмом был заменен другим барабаном периметром 293 мм, который приводится во вращение моторчиком Уорена со скоростью один оборот в секунду (фиг. 4).

С целью сравнения качества указанных трех приборов на фиг. 5 дана произведенная ими одновременная запись ударной диаграммы при частичном закрытии задвижки. Из фигуры видно, что фото-оптический прибор настолько чувствителен, что резко реагирует на пульсацию в потоке, а индукционный датчик и индикатор давления их осредняют. Кроме того, поскольку фото-оптический прибор и индукционный датчик работают без потерь на механическое трение, а в индикаторе давления эти потери имеют место, то показания индикатора в среднем на 40% меньше, чем остальных приборов. Следовательно, механические потери в индикаторе составляют лишь 40%, что приемлемо.

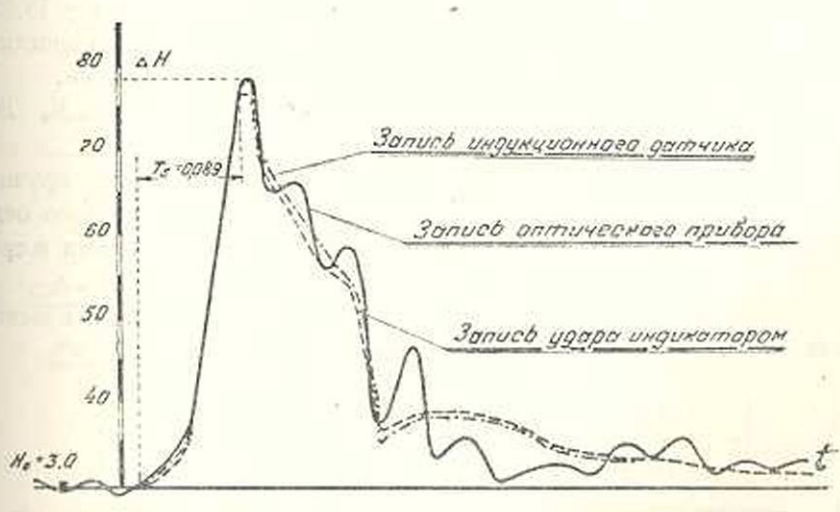
Индукционный и фото-оптический датчики изготовлялись механиком ЛЭТИ Р. С. Тихоновым, а индикатор давления сотрудниками ВЭНИ Б. М. Джрбашяном и А. И. Анмегикяном.

Эксперименты на первой установке

В конце трубопровода днаметром 320 мм, длиною 18,95 м у задвижки был установлен индукционный датчик N_2 1. На расстоянии L=17.5 м от этого датчика на трубопроводе был установлен датчик N_2 2.



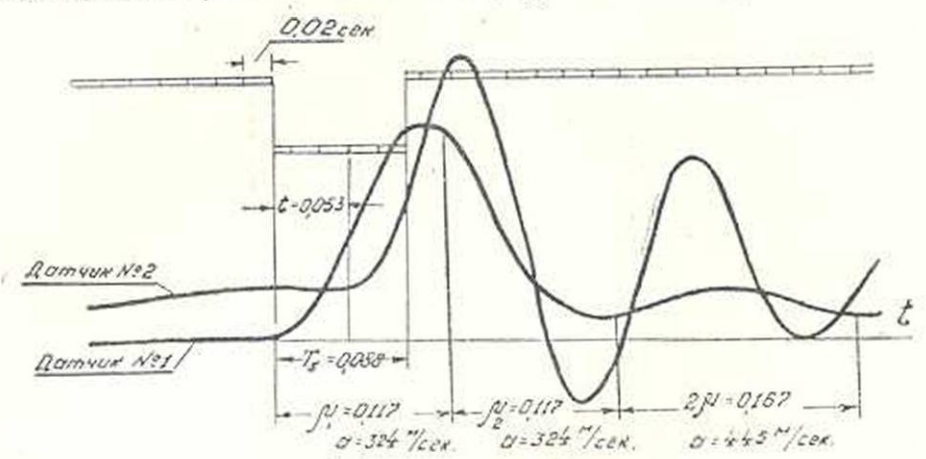
Фиг. 4. Общий вид индикатора давления.



Фиг. 5. Сравнительный график давления записанный тремя приборами.

В результате быстрого закрытия задвижки на 50%, давление в трубопроводе повысилось, что записано осциллографом.

На фиг. 6 приведена одна из таких записей ударной волны в грубопроводе при отсутствии в нем упругого элемента.



Фиг. б. Диаграмма давления в первом трубопроводе без резипового шланга.

Из осциллограммы видно, что распространение повышения давления от датчика № 1 до № 2 происходит за 0,053 сек, что соответствует скорости a=330 м/сек.

Кроме того, из осциллограммы видно, что для первой и второй фаз, время пробега волны от задвижки до свободной поверхности (в баке) и обратно $\mu=0.117$ сек.- При длине трубопровода l=18.95 м получим a=324 м/сек. В третьей и последующих фазах скорости a несколько увеличиваются и становятся равными a=445 м/сек.

Если бы трубопровод был круглым, то по формуле Н. Е. Жуковского получили бы $a \Rightarrow 1010$ м/сек.

В данном случае указанный трубопровод накатанный вручную из листовой стали, форма его поперечного сечения значительно отличается от круга и приближается к эллипсу с главными осями в среднем 29,0 и 36,0 см (отношение осей $\varphi = 0.80$).

Для определения скорости а в трубопроводе эллиптического сечения Г. И. Двухшерстов [10] получил формулу

$$a = \frac{1435}{1 + \frac{2b(1 - v^2)\varepsilon}{E\delta} \cdot K_A \left(1 + K_A \frac{b^2}{\delta^2}\right)},$$

где .b — характерный размер поперечного сечения трубы, равный се среднему дваметру D == 32 см.

 $\nu = 0,1$ — коэффициент Пуассона,

толщина стенки трубопровода 3 мм,

Ка и Ка безразмерные коэффициенты, зависящиее от формы поперечного сечения.

Для $\phi = 0.80$ получаем $K_A = 0.08$ и $K_A = 0.934$.

При этих данных скорость получается равной a = 457 м/сек.

Таким образом, в эдлиптической трубе скорость распространения волны удара значительно меньше, чем в круглой.

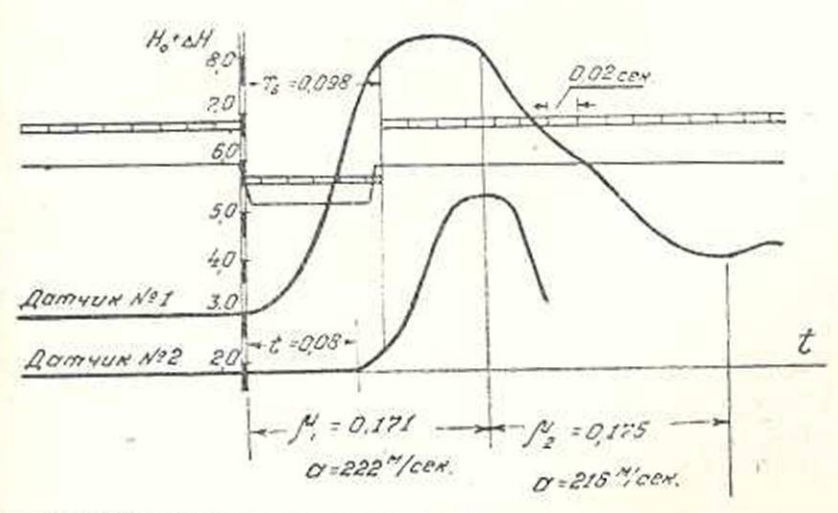
Такая скорость получится в эллиптической трубе, наполненной водой, в которой отсутствуют пузырыки воздуха.

Но даже при атмосферном давлении и температуре воды 20° предельное насыщение ее воздухом составляет около $2^{\circ}/_{\circ}$ по объему [11]. Следовательно, в трубопроводе где фактическая скорость a=330 м/сек (вместо a=457 м/сек), содержание воздуха в воде по формуле (11) составляет $0.054^{\circ}/_{\circ}$, что равносильно воздушной струе диаметром 7.44 мм.

Из приведенной осциллограммы видно, что в последующих фа- зах значения скорости а несколько возрастают. Это объясияется тем, что при увеличении давления часть воздуха выделяется из воды.

Поскольку количество воздуха в трубопроводе не всегда постоянно и зависит от давления, то скорость а не будет строго постоянной для всех фаз, что и видно из фиг. 6.

Если в этом же трубопроводе при таком же проценте содержания воздуха проложить два резиновых шланга диаметром по $d_0=1.8~cm$ и толщиной стенки e=2~mm, то при $a=40~\kappa r/cm^2$ по формуле (9) получим $a=230~m/ce\kappa$, а по формуле (10) $a=210~m/ce\kappa$ и наконец, по формуле (11) $a=206~m/ce\kappa$. По данным экспериментов $a=222-216~m/ce\kappa$ (фиг. 7).



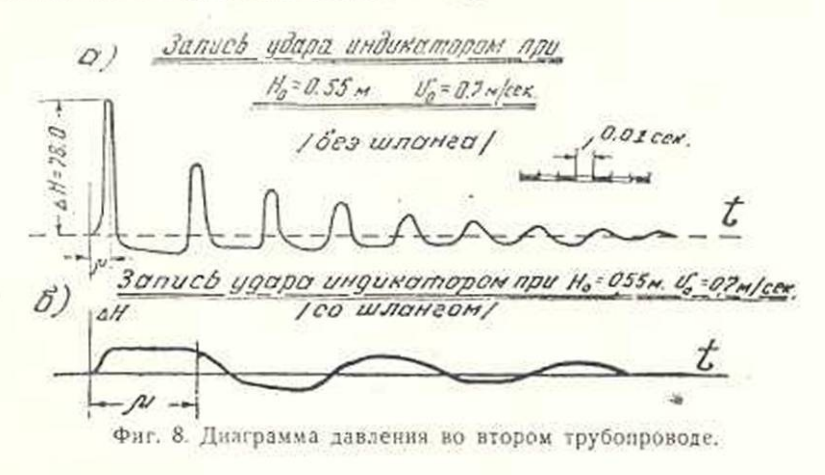
Фиг. 7. Днаграмма давлания в первом трубопроводе с резиновым шлангом.

Таким образом, формулы [9], [10] и [11] позволяют довольно точно определять волновые скорости для случая наличия резинового шланга в трубопроводе.

Эксперименты на второй установке

Влияние резинового шланга на уменьшение скорости было выявлено более наглядно при экспериментах на трубопроводе длиною 22,6 м, днаметром 5 см, толщиной стенки 4 мм. В конце трубопровода был установлен пробочный кран, позволяющий вручную быстро закрывать приток воды и получить прямой удар в трубопроводе. Изменение давления в трубопроводе у крана записывалось индикатором давления.

На фиг. 8 приведена запись удара для одного из таких опытов. Диаграмма "a" относится к удару без резинового шланга в трубе, а диаграмма "b"— к удару при наличии в трубе резинового шланга диаметром 0,8 cm и толщиной стенки 1 mm.



Как видно из диаграммы "a» продолжительность фазы μ =0,04 $ce\kappa$, следовательно a=1130 $m/ce\kappa$, по формуле Н. Е. Жуковского получаем a=1340 $m/ce\kappa$.

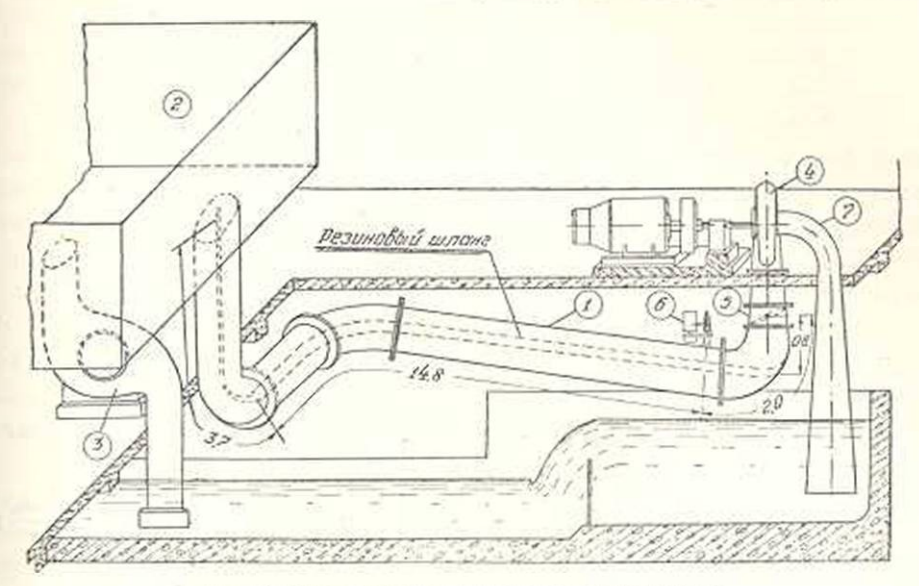
Это можно объяснить наличием пузырьков воздуха в воде. Действительно, при $\alpha = 1130$ м/сек содержание воздуха в воде по формуле (11) равно $0.0028^{\rm 0}/_{\rm 0}$ от объема воды, что равносильно воздушной струе диаметром 0.27 мм.

Из ударной днаграммы кривой, "6" следует, что продолжительность первой фазы $\mu = 0.28$ сек, что соответствует скорости a = 160 м/сек. По формуле (9) получаем a = 164 м/сек.

В этом трубопроводе данный шданг уменьшает скорость а в 9 раз.

Эксперименты на третьей установке

Трубопровод *I* диамегром 640 мм, толщиной стенки 4 мм, длиной 20,5 м, специально предназначенный для модели станции, входящей в гидроэнергосистему (фиг. 9) и питающийся через основной бак 2 насосной 3, соединен со спиральным кожухом гидротурбины 4. В-



Фиг. 9. Схема установки модели гидростанции.

конце трубопровода установлена дроссельная задвижка б, при помощикоторой создавался гидравлический удар. На расстоянии 2,0 м от дросселя на трубопроводе был установлен индикатор давления 6, который записывал диаграмму давления. Отсасывающая труба 7 была отсоединена от турбины, что дает возможность считать установку соответствующей схеме простого трубопровода с задвижкой в конце и с истечением в атмосферу.

Опыты на данной установке были проведены для трех разных случаев, а именно:

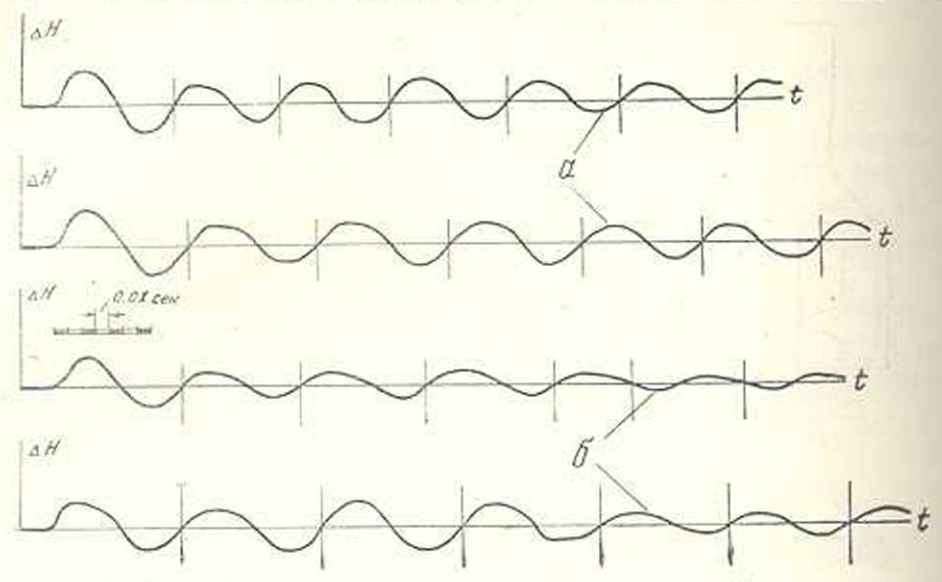
- а). Бак 2 заполнен водой, насос отключен, трубопровод без резинового шланга. Удар в трубопроводе создается маневрированием дроссельной задвижки.
 - б). Те же условия, но насос работает.
- в). Условия те же, что в п. "б", но при наличии резинового шланга в трубопроводе.

Необходимо отметить, что при работе насоса на поверхности воды в резервуаре появлялись многочисленные пузырьки воздуха, отсасываемого насосом из нижнего резервуара. Эти пузырьки могут течением воды вовлекаться в трубопровод и, в зависимости от их объема, изменять значения скорости а в трубопроводе.

Скорость распространения волны гидравлического удара в данном трубопроводе, расчитанная по формуле Н. Е. Жуковского, равна $a=900~m/ce\kappa$. Однако согласно данным опытов произведенных в совершенно одинаковых условиях, средние значения скорости а для щести фаз диаграммы давления (фиг. 10, кривые а) получились следующие (см. табл. 1).

На фиг. 10 приведена диаграмма только для первого и последнего опытов.

Известия IX, № 4-6



Фиг. 10. Диаграмма давления в третьем трубопроводе без резінювого шланга.

					Таблица 1		
Число опытов	4	3	2	2	- 1	3	
а м/сек	890	880	850	830	790	780	

Для случаев, когда работал насос и воздушные пузырьки вовлекались в трубопровод, средние значения скорости, соответствующие шести фазам диаграммы давления (фиг. 10, крывые б) получились следующие (см. табл. 2):

					Tab	ища .
Число опытов	2	4	1	11	4	4
а м/сек	810	800	785	750	740	730

Как видио из таблиц 1 и 2 в первом случае, в зависимости от объемя воздуха в воде, скорость а изменяется от 890 м/сек до 780 м/сек, а во-втором случае — от 810 м/сек до 730 м/сек.

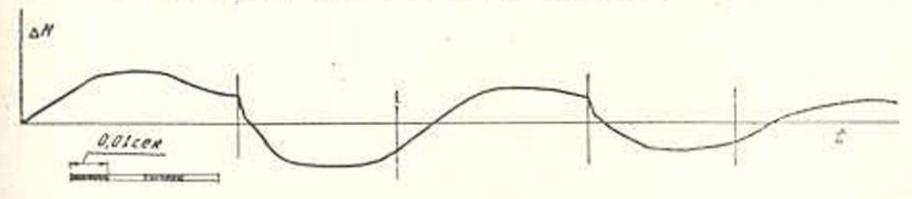
Расхождения между данными опытов и теории объясняются только наличием воздуха в воде. Посколько объем воздуха в воде не постоянеи, то значения скорости a в разных опытах, произведенных в одинаковых условиях, получаются разные. При сопоставлении данных таблиц 1 и 2 легко заметить, что когда в воде отсутствуют воздушные пузырыки, то скорость a получается больше. Если принять a = =730 м/сек, то по формуле (11) получим относительный объем воздуха на единицу длины трубопровода в размере $0,123^{\circ}/_{\circ}$ от объема воды в трубопроводе. Если мысленно отделить воздух от воды, то

площадь сечения трубопровода, занятая воздухом будет равна кругу с днаметром 0,73 см. Таким образом, при наличии в трубопроводе воздушной струи днаметром 0,73 см, скорость ударной волны уменьшится с 900 до 730 м/сек.

Для уменьшения скорости а в более широких пределах в трубопроводе был проложен резиновый шланг плоской формы с периметром 35 см, с толщиной стенок в 2 мм. Этот шланг под давлением накачиваемого в него воздуха принял форму круга. Благодаря этому при повышении давления воды снаружи стенки шланга не могут сопротивляться уменьшению его диаметра, а при уменьшении давления воды в трубопроводе шланг с воздухом расширяется и тогда сопротивление, вызванное шлангом, безусловно будет влиять. По этой причине при повышении давления скорость а будет меньше, чем при понижении давления.

Верхний конец шланга был наглухо закрыт, а нижний был снабжен штуцером, к которому присоединялся компрессор для подачи в шланг воздуха. В зависимости от количества поданного воздуха уменьшалась скорость а. Из этого следует, что данное мероприятие отвечает своему назначению, причем оно позволяет по желанию регулировать скорость.

Один из опытов записи гидравлического удара в данном трубопроводе приведен на фиг. 11, а значения скорости в отдельных фазах для 5-ти опытов приведены в таблице 3, в которой, в графах 2, 3, 5



Фиг. 11. Диаграмма давления в третьем трубопроводе с резиновым шлангом.

м/сек		M/ceK			По формуле		
I фаза II фаза	1-й период 3	III фаза	1V фаза 5	П-й период	(9)	(11)	
							50,5
50,5	74	62,2	59,7	80	69,5	69,5	61,5
51,2	79	65.1	58,8	79	68,8	69,5	61,5
52	79	65,5	57,1	86	71,5	69,5	61,5
52,9	76	64,4	65,6	80	72,8	69,5	61,5
Lawrence of the second second	значение риодов	63,4	-	-	69,9	69,5	61,5

и 6 приведены значения скорости a для отдельных фаз. В графах 4 и 7 дано среднее значение скорости a для периодов колебания давления, полученных из экспериментов. В графах 8 и 9 даны значения скорости a, полученые по формулам (9) и (11).

Как видно из таблицы формулы (9) и (11) дают величины, довольно близкие к полученным из экспериментов.

Кроме того в трубопроводе, в котором скорость бала $a=900 \, \text{м/сек}$, удалось ее уменьшить практически до $a=65-70 \, \text{м/сек}$.

Такой результат дает основание при моделировании явления гидравлического удара пользоваться резиновым шлангом во всех тех случаях, когда при масштабе времени α t=1 скорость α получается больше 70,0 $m/ce\kappa$.

Выводы

Проведенные исследования позволяют сделать следующие выводы:

- Скорость распространения волны давления гидравлического удара зависит не только от поперечных размеров и упругости материала трубы и жидкости, но и, в некоторой степени, от формы поперечного сечения трубы.
- Для практических расчетов значение скорости в круглых тонкостенных трубопроводах, при наличии в трубе упругого элемента в виде резинового шланга или воздушной струи, могут быть использованы предлагаемые формулы (9), (10) и (11), по которым можно определить скорости a, не прибегая к экспериментам. Полученные по этим формулам скорости a расходятся с рекспериментальными значениями только на 5—7°/a.
- 3. Экспериментальное значение скорости а не будет строго соответствовать теоретическому, определяемому по формуле (4), из-за наличия воздуха в воде. Кроме того, обеспечить строгое постоянство скорости для отдельных фаз или опытов невозможно, поскольку при изменении давления от гидравлического удара изменяется и количество воздуха в воде.

При наличии в трубопроводе резинового шланга влияние воздушных пузырьков на a незаметно, поскольку объем этих пузырьков весьма мал по сравнению с объемом воздуха в шланге. В этом случае расхождения в величинах скорости a для отдельных фаз или опытов, достигают $3-8^{\circ}/_{\circ}$, что вполне приемлемо, так как оно находится в пределах точности измерений при исследованиях на моделях гидро-энергосистем.

4. Теоретически и экспериментально доказана возможность искусственного уменьшения скорости а в достаточно широких пределах для обеспечения возможности моделировать явление гидравлического удара в трубопроводах ГЭС и исследовать в лабораторных условиях переходные процессы на модели гидроэнергосистемы с учетом влияния гидравлического удара.

Водно-энергетический институт АН Армянской ССР Поступило 27 V 1955.

R. L. Բունիաթյան, Զ. Հ. Զորյան

ՀԻԴՐԱՎԼԻԿԱԿԱՆ ՀԱՐՎԱԾԻ ՃՆՇՄԱՆ ԱԼԻՔԻ ՏԱՐԱԾՄԱՆ ԱՐԱԳՈՒԹՅԱՆ ԱՐՀԵՍՏԱԿԱՆ ՓՈՔՐԱՑՈՒՄԸ՝ ԱՅՆ ՄՈԴԵԼԱՑՆԵԼՈՒ ՆՊԱՏԱԿՈՎ

UTPUPUPU

ՀիդրոԷներդոսիստեքների ավտոմատիկ կանոնավորման ե նրանց աշխատանքի կայունության ճարցերը մոդելացման միջոցով ուսուքնասիրելիս, անճրաժեշտ է մոդելացնել «ճիդրավլիկական ճարվածի» երևույթը, որ առաջանում է ճիդրոկայանի ճնշման խողովակաչարում ռեակտիվ տուրրինների կանոնավորման ընթացքում։

Այդալիսի մոդելացման դեպքում աներաժեշտ է, որ ժամանակի մասշտարը հավասար լինի մեկի։

Ժամանակի մասչատրի այդ սահմանափակման հետևանքով հիդրավլիկական հարվածի մոդելացումը հնարավոր է միմիայն նրա ալիքի տարաժման արադության փոքրացմամը։

Հեղինակների կատարած տեսական և Էքսպերիմենտալ հետազոտու-Սյուններից պարզվել է, որ այդ արագության փոքրացման համար անհրաժեշտ է Հնչման խողովակի մեջ անցկացնել մեջը օդ լցված ռետինե խողովակ։

Ռետինե այդ խողովակը, ինչպես երևում է տեսականորեն ստացված (9), (10) և (11) բանաձևերից, կարող է ալիջի տարածման արագությունը փոջրացնել լայն սանմաններում։

Կատարված փորձերի միջոցով գործնականում ալիջի տարածման արագությունը փոջրացվել է 17 անգամ, որը լիովին համապատասխանում է տեսական հայվումներին։

Ալիջի տարածման արագության փոջրացման այդ սահմանները հնարավորություն են տալիս հիդրոէներգոսիստեքների մոդելացման դեպջում լիովին մոդելացնել կայանի ձնչման խողովակաչարը։

ЛИТЕРАТУРА

- Егназаров И. В. Задачи научных исследований по изучению режимов работы гидроэнергосистемы и их автоматического регулирования. Известия АН Армянской ССР, (серия Ф МЕТ наук), № 1, т. VI, 1953.
- Егиазаров И. В. Моделирование гидравлического удара. ДАН СССР, № 3, ХСП, 1953.
- Егиазаров И. В. Моделирование гидравлического удара в особых условиях динамического моделирования целой гидроэнергосистемы. ДАН СССР. № 5, т. ХСП, 1953.
- Егиазаров И. В. Моделирование и явлений неустановившегося волнового движения безнапорного и напорного потока. Известия ОТН АН СССР. № 10, 1953.
- Жуковский Н. Е. О гидравлическом ударе в водопроводных трубах. ГИТТЛ, М.—Л., 1940.
- Мостков М. А. и Башкиров А. А. Расчеты гидравлического удара. Госэнергонздат, 1952.
- Larras, Coups de délier et essais sur modèles Revus Générale de L'Hydraulique. № 66-1951.

- Девдариани Ю. С. и Люнякина Т. Б. О синжении амплитуды давления в трубопроводах при гидравлическом ударе путем искусственного уменьшения быстроты распространения ударной волны. Труды Ин-та энергетики АН Грузинской ССР, VI, 1951.
- Remenieras. Dispositif simple pour rédüire la célérité des ondes élastiques dans les conduites en charge. Houille Blanche, NA, 1952.
- Двухшерстов Г. И. Гидравлический удар в трубах некруглого сечения и потока жидкости между упругими стенками. Учен. записки МГУ, вып. 122, т. II, 1948.
- 11. Гибсон А. Гидравлика и ее применение. Госэнергоиздат, 1934.